

В. А. ГЕРАНИН, А. Н. ПРОДЕУС, Г. Д. СИМОНОВА,  
М. И. ШЛЯКЦУ  
(Киев)

## АНАЛИЗ ВЛИЯНИЯ НЕГАУССОВОСТИ НА ТОЧНОСТЬ СПЕКТРОМЕТРИИ СТАЦИОНАРНЫХ СЛУЧАЙНЫХ ПРОЦЕССОВ

К проблеме негауссности в задачах спектрометрии случайных процессов (СП) относятся специалисты по-разному. Одни считают, что этой проблемы вовсе не существует, так как полоса прозрачности избирательного элемента анализатора, по крайней мере, на порядок уже эффективной ширины измеряемого спектра и отклик такого фильтра гауссов при любом законе распределения воздействия. Другие выскаживаются более осторожно: узкополосный фильтр нормализует широкополосный процесс, по-видимому, не всегда. Поэтому исследование погрешностей спектрометрии негауссовых СП — задача, представляющая определенный прикладной интерес. С тем, что решить эту дилемму на уровне общих рассуждений не удается, согласны и те, и другие. Однако очевидная сложность задачи сыграла гипнотическое действие: до сих пор не получены даже ориентировочные результаты.

Ниже предпринята попытка оценить характер и степень влияния негауссости на точность спектрометрии СП. Рассмотрим этот вопрос применительно к периодограмманию при условиях [1], когда он эквивалентен фильтровому и корреляционному методам измерения спектров стационарных СП.

Дисперсия квадратично-модифицированной [2] периодограммы

$$\tilde{G}(\omega_0) = \frac{1}{2\pi T} \int_0^T \int_0^T X(t_1) X(t_2) v_Q(t_1 - t_2) e^{-j\omega_0(t_1-t_2)} dt_1 dt_2 \quad (1)$$

может быть представлена в виде суммы

$$D_{\text{нг}}[\tilde{G}(\omega_0)] = D_r[\tilde{G}(\omega_0)] + \Delta D[\tilde{G}(\omega_0)], \quad (2)$$

где

$$D_r[\tilde{G}(\omega_0)] = \frac{1}{(2\pi T)^2} \int_0^T \int_0^T \int_0^T \int_0^T A(t_1, t_2, t_3, t_4) v_Q(t_1 - t_2) v_Q(t_3 - t_4) \times \\ \times e^{-j\omega_0(t_1-t_2-t_3+t_4)} dt_1 dt_2 dt_3 dt_4 \quad (3)$$

— дисперсия периодограммы эквивалентного гауссова процесса;

$$\Delta D[\tilde{G}(\omega_0)] = \frac{1}{(2\pi T)^2} \int_0^T \int_0^T \int_0^T \int_0^T C(t_1, t_2, t_3, t_4) v_Q(t_1 - t_2) v_Q(t_3 - t_4) \times \\ \times e^{-j\omega_0(t_1-t_2-t_3+t_4)} dt_1 dt_2 dt_3 dt_4 \quad (4)$$

— прирост дисперсии за счет негауссности,

$$C(t_1, t_2, t_3, t_4) = \langle X(t_1) X(t_2) X(t_3) X(t_4) \rangle - R(t_1-t_2) \times \\ \times R(t_3-t_4) - A(t_1, t_2, t_3, t_4); \quad (5)$$

$$A(t_1, t_2, t_3, t_4) = R(t_1-t_3) R(t_2-t_4) + R(t_1-t_4) R(t_2-t_3). \quad (6)$$

Рассмотрим две модели негауссова ССП  $X(t)$ .  
**Модель первая:**

$$X_1(t) = Z(t) \cos(\Omega_0 t - \Psi), \quad (7)$$

где  $Z(t)$  — центрированный гауссов ССП с функцией корреляции  $R_z(\tau)$ ;  
 $\Psi$  — не зависящая от  $Z(t)$  случайная величина с равномерным распределением на интервале длиной  $2\pi$ .

**Модель вторая:**

$$X_{11}(t) = Z_1(t) Z_2(t), \quad (8)$$

где  $Z_1(t)$  и  $Z_2(t)$  — независимые центрированные гауссовые ССП с функциями корреляции  $R_1(\tau)$  и  $R_2(\tau)$  соответственно.

Вычислим компоненты дисперсии (2) для каждой модели.

**Модель (7).** Такой модели соответствуют  $A(t_1, t_2, t_3, t_4)$  и  $C(t_1, t_2, t_3, t_4)$  вида

$$\begin{aligned} A_1(t_1, t_2, t_3, t_4) = & 1/4 [R_z(t_1-t_3) R_z(t_2-t_4) \cos \Omega_0(t_1-t_3) \cos \Omega_0(t_2-t_4) + \\ & + R_z(t_1-t_4) R_z(t_2-t_3) \cos \Omega_0(t_1-t_4) \cos \Omega_0(t_2-t_3)]; \end{aligned} \quad (9)$$

$$\begin{aligned} C_1(t_1, t_2, t_3, t_4) = & 1/4 [R_z(t_1-t_3) R_z(t_2-t_4) + R_z(t_1-t_4) R_z(t_2-t_3)] \times \\ & \times \cos \Omega_0(t_1-t_2) \cos \Omega_0(t_3-t_4) - (1/8) R_z(t_1-t_3) R_z(t_2-t_4) \times \\ & \times \cos \Omega_0(t_1-t_2-t_3+t_4) - (1/8) R_z(t_1-t_4) R_z(t_2-t_3) \cos \Omega_0(t_1-t_2+ \\ & + t_3-t_4) + (1/8) R_z(t_1-t_2) R_z(t_3-t_4) \cos \Omega_0(t_1+t_2-t_3-t_4). \end{aligned} \quad (10)$$

**Модель (8).** В этом случае  $A(t_1, t_2, t_3, t_4)$  и  $C(t_1, t_2, t_3, t_4)$  таковы:

$$\begin{aligned} A_{11}(t_1, t_2, t_3, t_4) = & R_1(t_1-t_3) R_1(t_2-t_4) R_2(t_1-t_3) R_2(t_2-t_4) + \\ & + R_1(t_1-t_4) R_1(t_2-t_3) R_2(t_1-t_4) R_2(t_2-t_3); \end{aligned} \quad (11)$$

$$\begin{aligned} C_{11}(t_1, t_2, t_3, t_4) = & R_1(t_1-t_4) R_1(t_2-t_3) R_2(t_1-t_3) R_2(t_2-t_4) + \\ & + R_1(t_1-t_3) R_1(t_2-t_4) R_2(t_1-t_4) R_2(t_2-t_3) + R_1(t_1-t_3) R_1(t_2-t_4) \times \\ & \times R_2(t_1-t_2) R_2(t_3-t_4) + R_1(t_1-t_4) R_1(t_2-t_3) R_2(t_1-t_2) R_2(t_3-t_4) + \\ & + R_1(t_1-t_2) R_1(t_3-t_4) R_2(t_1-t_3) R_2(t_2-t_4) + R_1(t_1-t_2) R_1(t_3-t_4) \times \\ & \times R_2(t_1-t_4) R_2(t_2-t_3). \end{aligned} \quad (12)$$

Сравним теперь значения  $D_r[\tilde{G}(\omega_0)]$ ,  $D_{\text{НГ}}[\tilde{G}_1(\omega_0)]$ ,  $D_{\text{НГ}}[\tilde{G}_{11}(\omega_0)]$ , полагая

$$v_Q(\tau) = Sa(\Delta\omega\tau/2), \quad (13)$$

$$R(\tau) = R_r(\tau) = R_1(\tau) = R_{11}(\tau) = 4F\Delta\Omega S\alpha^2(\Delta\Omega\tau) \cos \Omega_0\tau. \quad (14)$$

Это соответствует спектральному окну

$$S_{vQ}(\omega) = \frac{1}{\Delta\omega} \operatorname{rect}\left(\frac{\omega}{\Delta\omega}\right) \quad (15)$$

и при соблюдении условий

$$G_z(\omega) = [G_z(\omega_0) + a(\omega_0 - |\omega|)] \operatorname{rect}(\omega/4\Delta\Omega), \quad (16)$$

$$G_z(0) = 4F\Delta\Omega, \quad (17)$$

$$\Omega_0 = \Delta\Omega, \quad G_1(\omega) = G_1(0) \operatorname{rect}(\omega/2\Delta\Omega), \quad G_2(\omega) = G_2(0) \operatorname{rect}(\omega/4\Delta\Omega),$$

$$F = 2G_1(0)G_2(0)\Delta\Omega$$

анализируемому спектру вида (рис. 1)

$$G(\omega) = G_r(\omega) = G_I(\omega) = G_{II}(\omega) = \begin{cases} F, & -\Delta\Omega \leq \omega \leq \Delta\Omega; \\ -\frac{F}{2\Delta\Omega}(|\omega| - 3\Delta\Omega), & \Delta\Omega \leq |\omega| \leq 3\Delta\Omega; \\ 0, & \text{o.} \end{cases} \quad (18)$$

Пределы изменения параметров  $\Delta\omega$  и  $\omega_0$  ограничим неравенствами

$$\left. \begin{array}{l} 0 \leq \Delta\omega \leq 3\Delta\Omega; \\ \Delta\omega/2 \leq \omega_0 \leq 3\Delta\Omega - \Delta\omega/2. \end{array} \right\} \quad (19)$$

Выкладки и окончательные аналитические выражения сравниваемых дисперсий громоздки, поэтому результаты расчетов\* предста- влены графически.

Содержание (рис. 2, а, б, в) — зависимость

$$u_l(\omega'_0, \Delta\omega') = \frac{\Delta D[\tilde{G}_l(\omega'_0)]}{D_r[\tilde{G}_l(\omega'_0)]} \quad (l = I, II) \quad (20)$$

от  $\omega'_0 = \omega_0/\Delta\Omega$  при  $\Delta\omega' = \Delta\omega/\Delta\Omega = 0,01$ ,  $\Delta\omega' = 0,2$  и  $\Delta\omega' = 1,5$ .

На рис. 3 а, б, в приведена зависимость  $u_l(\omega'_0, \Delta\omega')$  от  $\Delta\omega'$  при  $\omega'_0 = 0,9; 1; 2$ . Сплошная линия соответствует модели (7), пунктирная — модели (8).

Область ненулевых значений приращения дисперсии  $\Delta D[\tilde{G}_l(\omega)]$  на рис. 4 заштрихована\*\*. Следовательно,  $\Delta D[\tilde{G}_l(\omega)]$  отлично от нуля, если спектральное окно накрывает частоту  $\Omega_0$ . Чем ближе  $\omega_0$  к этой частоте, тем больше  $\Delta D[\tilde{G}_l(\omega_0)]$  (см. рис. 2). С увеличением  $\Delta\omega'$  отношение (20) растет (см. рис. 3)\*\*\*. Исключение составляет случай  $\omega'_0 = 1$  (и окрестность этой точки длиной в несколько сотых). Пояснить это можно так. Представим  $Z(t)$  в виде

$$Z(t) = \sum_{i=0}^{2N} Z_i(t), \quad (21)$$

где  $Z_i(t)$  — СП, спектр которого

$$G_i(\omega) = G_z(i\Delta\omega) \operatorname{rect}[(|\omega| - i\Delta\omega)/\Delta\omega_1]. \quad (22)$$

Это соответствует

$$X_I(t) = \sum_{i=1}^N X_{Ii}(t), \quad (23)$$

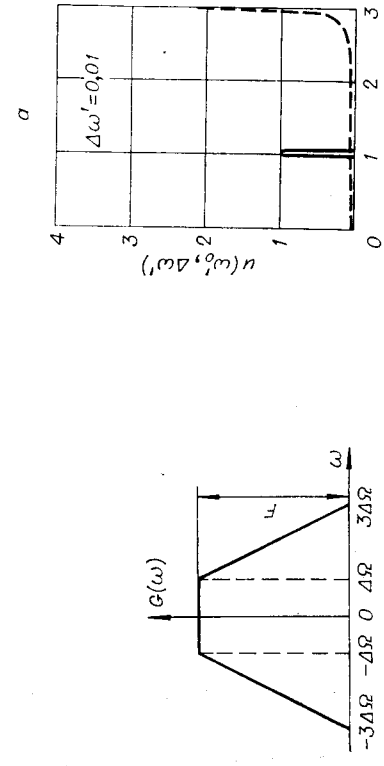
где

$$X_{Ii}(t) = Z_i(t) \cos(\Omega_0 t - \Psi). \quad (24)$$

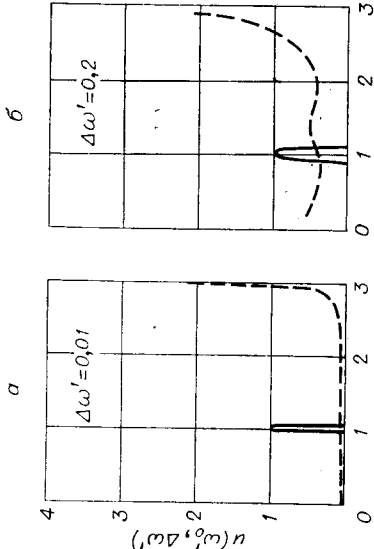
\* Здесь и ниже уровень приближения характеризует соотношение  $Sa^2(\omega T/2) \simeq (2\pi/T)\delta(\omega)$ . Оно обеспечивает приемлемую в инженерных расчетах точность при  $\Delta\omega T \gg 1$ , где  $\Delta\omega$  — ширина спектрального окна.

\*\* Отметим, что условия, при которых  $\Delta D[\tilde{G}_l(\omega_0)] \neq 0$ , не отличаются от условий нестационарности отлика ИПФ на воздействие  $X(t) = Z(t) \cos(\Omega_0 t - \Psi_0)$  с фиксированной  $\Psi_0$ .

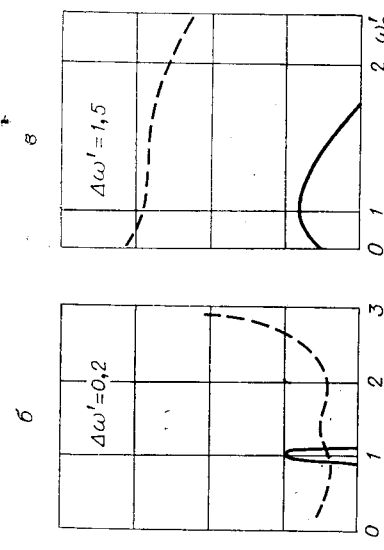
\*\*\* Характерна величина  $u_I(1,5; 3) = 0,8$ ; это сочетание  $\omega'_0, \Delta\omega'$  соответствует измерению дисперсии негауссова процесса (7).



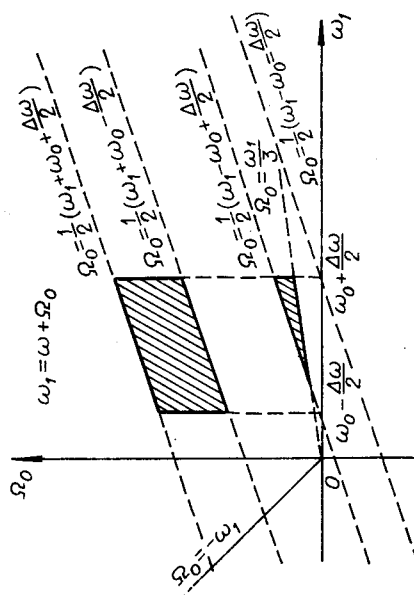
Puc. 1.



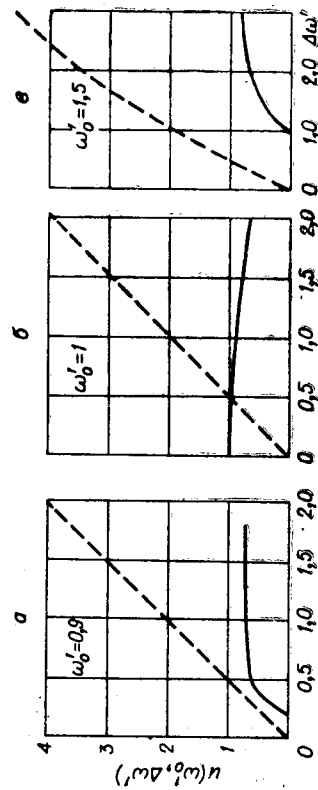
Puc. 2.



Puc. 2.



Puc. 4.



Puc. 3.

Подчеркнем взаимную зависимость слагаемых в (23): все они содержат одну и ту же случайную фазу  $\Psi$ . Отклик фильтра будет негауссовым лишь в том случае, если в полосу прозрачности попадет хотя бы одна элементарная негауссова компонента вида (24). Последнее возможно лишь при условии, если частота  $\Omega_0$  попадает в полосу прозрачности фильтра.

Вследствие некоррелированности компонент  $X_{1i}(t)$

$$\Delta D[\tilde{G}_1(\omega)] = \sum_{i=0}^N \Delta D_i, \quad (25)$$

причем нетрудно показать, что

$$\Delta D_i \simeq \frac{\pi}{T} G_z^2(i\Delta\omega_1) \Delta\omega_1. \quad (26)$$

Так как  $G_z(\omega)$  — треугольник (см. (16)), наибольший вклад в  $\Delta D[\tilde{G}_1(\omega)]$  вносят компоненты  $X_1(t)$  в окрестности  $\omega = \Omega_0$ . Этим и объясняется характер изменения сплошных кривых на рис. 3, в частности убывание  $u_1(1; \Delta\omega')$  (см. рис. 3, б).

Заметим, что при  $\Delta\omega' \rightarrow 0^*$   $\Delta D[\tilde{G}_1(\omega_0)]$  на частоте  $\omega_0 = \Omega_0$  не аннулируется:  $u_1(1; 0) = 1$ . Это объясняется тем, что при  $\omega_0 = 1$  негауссов СП  $X_{1i}(t)|_{i=0}$  остается в полосе прозрачности фильтра, сколь угодно малой.

Кратко поясним закономерности, присущие модели (8). Аппроксируем  $G_1(\omega)$ ,  $G_2(\omega)$ ,  $G_{11}(\omega)$  суммами слагаемых вида (22)

$$G_1(\omega) = \sum_{i=0}^N G_{1i}(\omega), \quad G_2(\omega) = \sum_{j=0}^{2N} G_{2j}(\omega), \quad G_{11}(\omega) = \sum_{k=0}^{3N} G_{11k}(\omega). \quad (27)$$

Существенно, что алгоритм формирования каждой спектральной компоненты  $G_{11}(\omega)$  имеет вид

$$G_{11k}(\omega) = \sum_{i=0}^N \sum_{j=0}^{2N} G_{11ki}(\omega), \quad (28)$$

причем элементарный СП со спектром

$$G_{11ki}(\omega) = \text{rect}[(|\omega| - k\Delta\omega_1)/\Delta\omega_1] \int_{-\infty}^{\infty} G_{1i}(\nu) G_{2j}(\omega - \nu) d\nu \quad (29)$$

негауссов. Предположим, что в полосу прозрачности фильтра попадают две смежные [ $k$ -я и  $(k+1)$ -я] спектральные компоненты  $X_{11}(t)$ . Пусть  $k=14$  и  $N=10$ . Совокупность ненулевых слагаемых сумм  $G_{1114}(\omega)$  и  $G_{1115}(\omega)$  (см. (28)) представим в виде таблицы.

Прирост дисперсии оценки спектра за счет негауссости — сумма вида

$$\Delta D[\tilde{G}_{11}(\omega_0')] = \Delta D_1(\omega_0') + \Delta D_2(\omega_0') + \Delta D_3(\omega_0') + \Delta D_4(\omega_0'), \quad (30)$$

где  $\Delta D_1(\omega_0')$  — вклад в  $\Delta D[\tilde{G}_{11}(\omega_0')]$ , вносимый элементарными спект-

$k=14$		$k+1=15$	
$k=j+i$	$k=j-i$	$k=j+i$	$k=j-i$
14+0		15+0	
13+1	15-1	14+1	16-1
12+2	16-2	13+2	17-2
11+3	17-3	12+3	18-3
10+4	18-4	11+4	19-4
9+5	19-5	10+5	20-5
8+6	20-6	9+6	
7+7		8+7	
6+8		7+8	
5+9		6+9	
4+10		5+10	

\* При аппроксимации  $X_1(t)$  типа (23) это соответствует  $\Delta\omega' \rightarrow \Delta\omega_1$ .

ральными компонентами (ЭСК) суммарных частот ( $14+0$  и  $14+1$ ;  $11+3$  и  $12+3$  и т. д.);  $\Delta D_2(\omega_0)$  — вклад ЭСК разностных частот

Значения  $\Delta \hat{D}_1(\omega_0)$ ,  $\Delta \hat{D}_2(\omega_0)$ ,  $\Delta D_3(\omega_0)$  и  $\Delta D_4(\omega_0)$  представлены на рис. 5, а (кривые 1—4 соответственно). Их произвольные (по  $\omega_0$ ) приведены на рис. 5, б. Функция  $\Delta D[\tilde{G}_{\text{II}}(\omega_0)]$  и ее производная — кривые 5 и 5'. На рис. 5, в показаны дисперсия  $D_r[\tilde{G}_{\text{I}}(\omega_0)]$  и ее производная (линии 1 и 1'). Эти кривые полезны для анализа графиков рис. 2 и 3.

Дробь  $a_{\text{II}}(\omega_0, \Delta\omega')$  на участке  $\frac{\Delta\omega'}{2} \leq \omega_0' \leq 1$  убывает потому, что  $\Delta D_2(\omega_0)$  уменьшается, а величина  $D_r[\tilde{G}(\omega_0)]$  не изменяется. Слабо выраженный локальный минимум на частоте  $\omega_0 = 1$  обусловлен быстрым изменением  $D_r[\tilde{G}(\omega_0)]$  и ее производной в окрестности этой частоты. Второй локальный минимум на частоте  $\omega_0 = 2$  поясняется скачками производных  $\Delta D_2(\omega_0)$ ,  $\Delta D_3(\omega_0)$  и  $\Delta D_4(\omega_0)$ . Он выражен еще слабее и наблюдается при  $0 \leq \Delta\omega' \leq 0,2$ . Чем шире спектральное окно, тем больше пар ЭСК попадает в полосу  $\Delta\omega$ , тем существеннее влияние негауссности  $X_{\text{II}}(t)$  на точность измерения  $G_{\text{II}}(\omega_0)$  (см. рис. 3)\*.

Значения

$$b(\omega_0, \Delta\omega', T) = \frac{D^{1/2}[\tilde{G}(\omega_0)]}{G(\omega_0)} \quad (31)$$

при  $\Delta\omega' = 0,2$  и  $\omega_0' = 0,92; 1; 1,5$  приведены на рис. 6, а — в сплошными ( $b_{\text{I}}$ ), пунктирными ( $b_{\text{II}}$ ) и штрихпунктирными ( $b_r$ ) линиями. Заметим, что фактически аргумент на этом рисунке — длина реализации  $T(\Delta\omega)$  фиксировано). Кривые свидетельствуют о том, что  $\Delta D[\tilde{G}(\omega_0)] \geq 0$ , причем знак неравенства между  $D_{\text{II}}[\tilde{G}_{\text{I}}(\omega_0)]$  и  $D_{\text{II}}[\tilde{G}_{\text{II}}(\omega_0)]$  может быть любым. Так, например, во всем рассматриваемом диапазоне значений  $T$

$$\frac{D_{\text{II}}^{1/2}[\tilde{G}_{\text{I}}(\omega_0)]}{D_r^{1/2}[\tilde{G}_{\text{I}}(\omega_0)]} = \begin{cases} 1,4, & \Delta\omega' = 0,2, \omega_0' = 1; \\ 1,13, & \Delta\omega' = 0,2, \omega_0' = 0,92, \end{cases}$$

а отношение

$$\frac{D_{\text{II}}^{1/2}[\tilde{G}_{\text{II}}(\omega_0)]}{D_r^{1/2}[\tilde{G}_{\text{II}}(\omega_0)]} = 1,2$$

в обоих случаях (см. рис. 6, а, б). Следовательно,

$$\frac{D_{\text{II}}[\tilde{G}_{\text{I}}(\omega_0)]}{D_{\text{II}}[\tilde{G}_{\text{II}}(\omega_0)]} = \begin{cases} 1,36, & \Delta\omega' = 0,2^{**}, \omega_0' = 1; \\ 0,88, & \Delta\omega' = 0,2, \omega_0' = 0,92. \end{cases}$$

Иными словами, в первом случае  $b_{\text{I}}(\omega_0, \Delta\omega', T)$  на 40%,  $b_{\text{II}}(\omega_0, \Delta\omega', T)$  на 20% превышают  $b_r(\omega_0, \Delta\omega', T)$ . Во втором случае это превышение

\*  $a_{\text{II}}(1,5; 3) = 4,6$  характеризует влияние негауссности на точность измерения дисперсии  $X_{\text{II}}(t)$ .

\*\* Заметим, что при одинаковой точности измерения  $G_{\text{I}}(\omega)$  и  $G_{\text{II}}(\omega)$  полоса прозрачности фильтра в первом случае шире, кроме ситуации  $\omega_0 = 1$  (см. рис. 3).

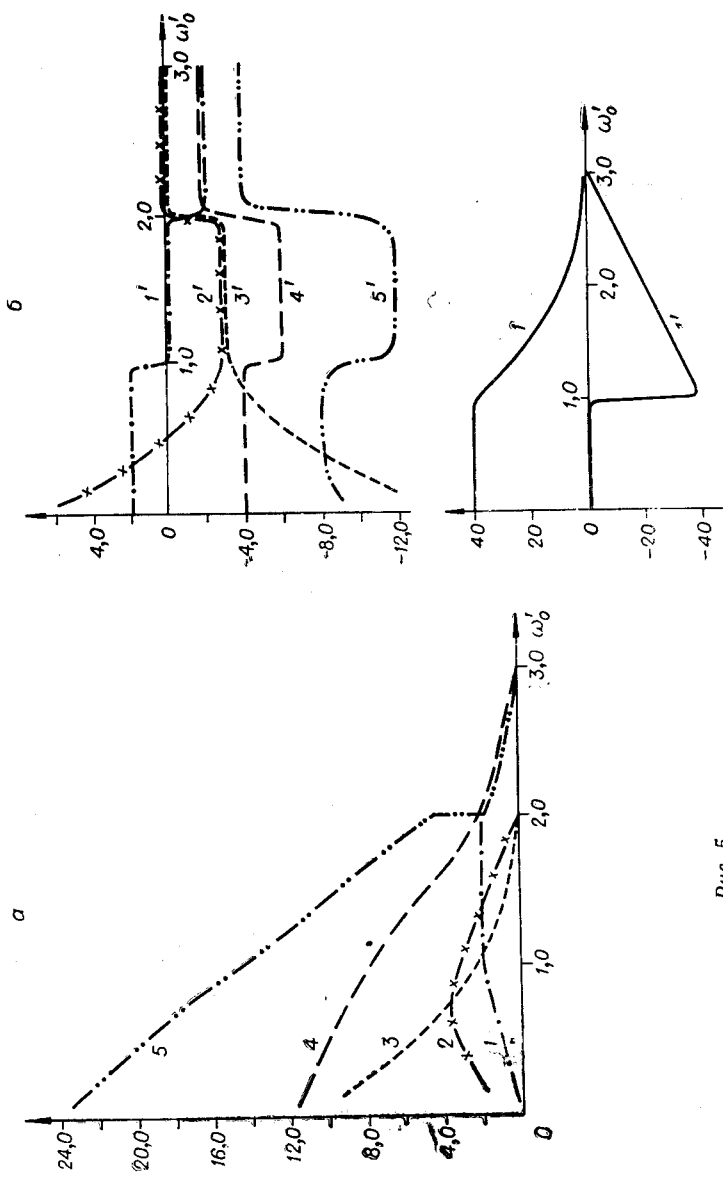


Fig. 5.

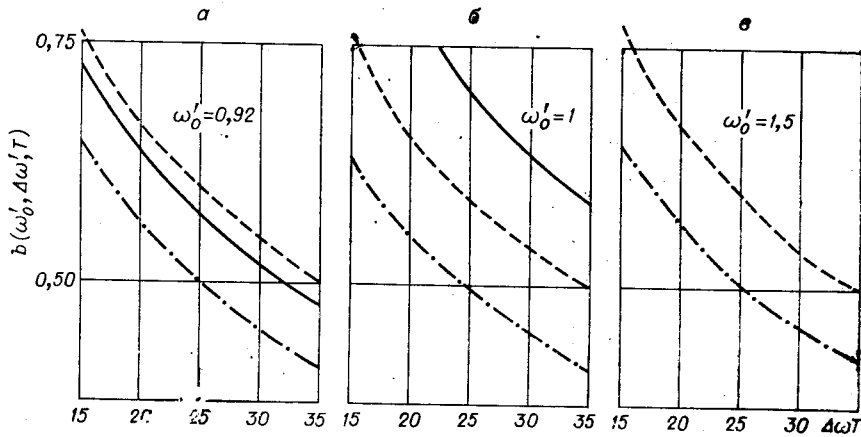


Рис. 6.

составляет 13 и 20% соответственно. Для равной точности измерения длительность реализации негауссова процесса должна быть больше отрезка  $X_r(t)$ , например,  $X_I(t)$  в 2 раза,  $X_{II}(t)$  в 1,5 раза, если  $\Delta\omega' = 0,2$ ,  $\omega_0' = 1$ .

Таким образом, негауссовость сказывается на результатах измерения спектра СП и иногда весьма существенно, поэтому игнорировать ее нельзя.

В заключение подчеркнем, что известное положение о нормализации СП узкополосной линейной системой справедливо не всегда:  $u_I(1; 0) = 1$ ,  $u_{II}(3; 0) = 2$ .

#### ЛИТЕРАТУРА

1. В. А. Геранин, Т. Т. Новикова, Г. Д. Симонова. Условия принципиальной эквивалентности основных методов статистического спектрального анализа стационарных случайных процессов.— Труды VI Всесоюзного симпозиума «Методы представления и аппаратурный анализ случайных процессов и полей». Л., Изд. ВНИИЭП, 1973.
2. В. А. Геранин. Современный периодограммный анализ стационарных случайных процессов.— Труды IV Всесоюзного симпозиума «Методы представления и аппаратурный анализ случайных процессов и полей». Л., Изд. ВНИИЭП, 1971.

*Поступила в редакцию 21 октября 1974 г.; окончательный вариант — 23 октября 1975 г.*

УДК 551.501 : 527

С. М. Якушин  
(Астрахань)

#### МЕТОД ОБРАБОТКИ РЕЗУЛЬТАТОВ ФОТОГРАФИРОВАНИЯ ОПТИЧЕСКИМИ СРЕДСТВАМИ КОСМИЧЕСКИХ ОБЪЕКТОВ НА ФОНЕ ЗВЕЗД

Несмотря на успехи в применении электроники, не отпала необходимость в использовании оптических измерительных средств для исследования движения космических объектов (КО) в пространстве. Один из основных видов оптических средств, применяемых для этих целей,—